# Capítulo 3

# Difração

#### 3.1 Difração por fenda simples

Experimento de Young: luz de 2 fendas *pequenas* interferem na tela de observação, produzindo um padrão de interferência. O que ocorre no caso de apenas uma fenda, não necessariamente pequena?

Princípio de Huygens: uma frente de onda é um conjunto de fontes pontuais que se combinam para formar a frente de onda em um instante seguinte. Difração: interferência da onda com ela mesma, i.e. luzes de todos os pontos (contínuo) da fenda interferem na tela de observação. O caso de uma fenda dupla pequena corresponde ao limite de apenas 2 pontos interferindo.

Aqui consideraremos apenas a difração de Fraunhofer, em que os raios saindo da fenda podem ser aproximados como paralelos, e.g. se a distância da fenda à tela de observação D é grande  $(D \gg a)$ . O limite de pequenas distâncias corresponderia à difração de Fresnel.

Antes de achar o padrão de difração e suas intensidades, podemos mais facilmente encontrar os pontos de mínimo. Considere uma fenda simples de largura a, como na Fig 3.1. Considere a interferência de pares de raios, e.g. raio 1 e raio 2, raio 3 e raio 4, etc. Para todos estes pares de raios a diferença de caminho entre eles é:

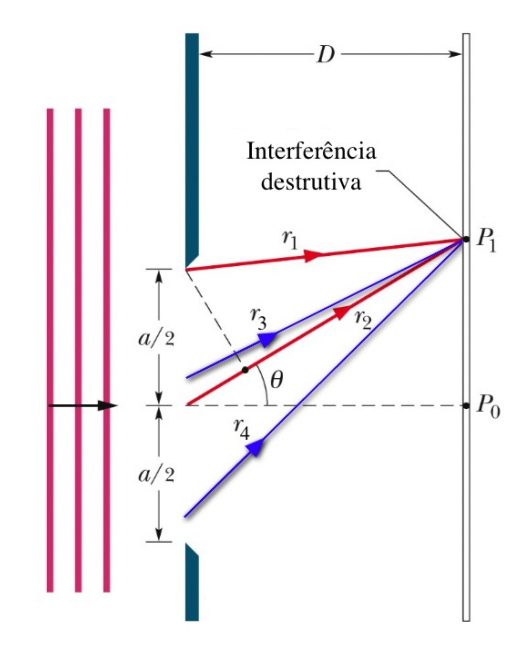
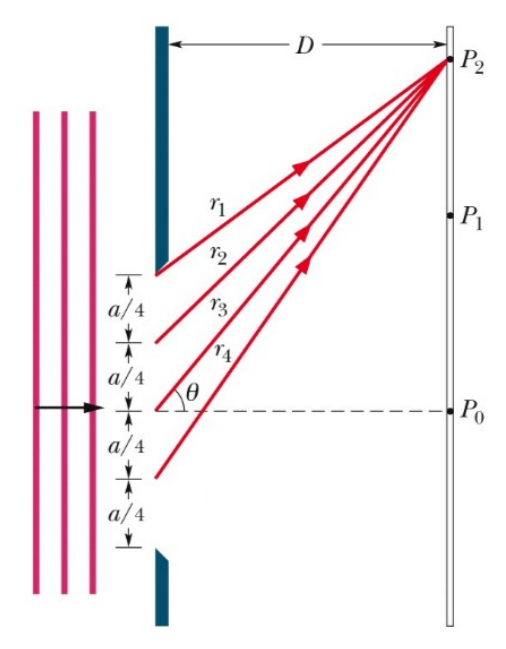


Figura 3.1: Formação do  $1^o$  mínimo de difração no ponto  $P_1$ . (Halliday)

$$[1] - [2] = [3] - [4] = \dots = -\frac{a}{2}\sin\theta \tag{3.1}$$

Se essa diferença de caminho for igual a  $\lambda/2$ , todos esses pares se cancelaram em  $P_1$  na tela de observação, e teremos interferência destrutiva neste ponto. Portanto:

$$\frac{a}{2}\sin\theta = \frac{\lambda}{2} \rightarrow \left[a\sin\theta = \lambda \quad (1^o \text{ mínimo})\right]$$
 (3.2)



A condição acima define o primeiro mínimo. Mínimos sucessivos podem ser obtivos imaginando que exatamente o que aconteceu na fenda de largura a, aconteça com cada uma de suas frações (e.g. cada uma de suas metades se cancela independentemente, etc).

Por exemplo, se dividirmos a fenda em 2 partes, cada uma de largura a/2 e repetirmos a análise acima para cada parte, os raios na primeira metade da fenda se cancelam e os raios na segunda metade se cancelam independentemente. A Fig 3.2 mostra essa segunda maneira dos raios se cancelarem no ponto  $P_2$  da tela de observação. Vamos considerar novamente a interferência de pares de raios, e.g. raio 1 e raio 2, raio 2 e raio 3, etc. Para estes pares a diferença de caminho é:

Figura 3.2: Formação do  $2^o$  mínimo de difração no ponto  $P_2$ . (Halliday)

$$[1] - [2] = [2] - [3] = \dots = -\frac{a}{4}\sin\theta \tag{3.3}$$

Se essa diferença de caminho for igual a  $\lambda/2$ , todos os pares da primeira metade da fenda se cancelarão e todos os pares da segunda metade se cancelarão de forma independente. Assim, todos os pares da fenda como um todo se cancelam em  $P_2$ :

$$\frac{a}{4}\sin\theta = \frac{\lambda}{2} \rightarrow \left[a\sin\theta = 2\lambda \quad (2^{o} \text{ mínimo})\right]$$
 (3.4)

Prosseguindo neste raciocínio sucessivamente, temos

$$a\sin\theta = m\lambda \quad (m^{\text{th}} \text{ mínimo}) \tag{3.5}$$

Antes de calcular o padrão de difração em um fenda simples, vamos primeiro lembrar do caso da interferência em fenda dupla de largura pequena, como mostrado na Fig 3.3.

Neste caso, tínhamos

$$E(P) = E_1 + E_2,$$
  
onde  $E_1 = v_1 e^{-i\omega t}$ , e  $v_1 = A e^{ikr_1}$ 

Mostramos anteriormente que

$$E(P) = ve^{-i\omega t}$$
onde  $v = \tilde{v} \left[ e^{-ik\frac{d}{2}\sin\theta} + e^{+ik\frac{d}{2}\sin\theta} \right]$ 

$$e \tilde{v} = Ae^{ikR}$$

Definindo coordenadas  $\vec{x}$  com centro entre as duas fendas, e denotanto a coordenada da fenda de cima  $x_1 = d/2$  e da fenda de baixo  $x_2 = -d/2$ , segue que

$$\vec{k} \cdot \vec{x}_1 = |\vec{k}| |\vec{x}_1| \cos\left(\frac{\pi}{2} - \theta\right) = k \frac{d}{2} \sin\theta$$

$$\vec{k} \cdot \vec{x}_2 = |\vec{k}| |\vec{x}_2| \cos\left(\frac{\pi}{2} + \theta\right) = -k \frac{d}{2} \sin\theta$$

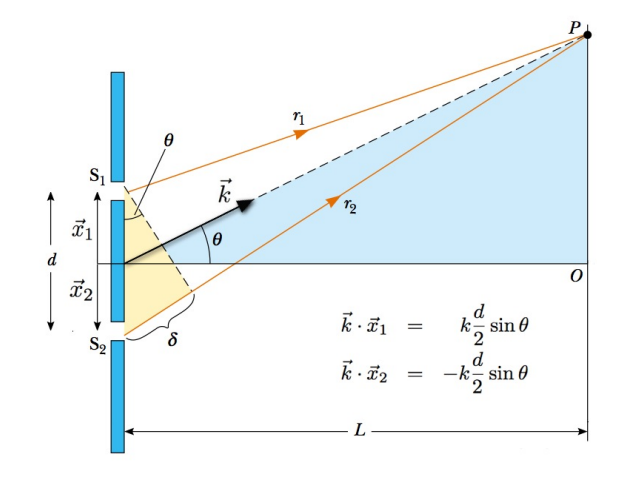


Figura 3.3: Interferência em uma fenda dupla. (Serway)

Portanto, podemos escrever a amplitude do campo no caso de uma fenda dupla como

$$v = \tilde{v}[e^{-i\vec{k}\cdot\vec{x}_{1}} + e^{-i\vec{k}\cdot\vec{x}_{2}}]$$

$$= \tilde{v}\sum_{j=1}^{2} e^{-i\vec{k}\cdot\vec{x}_{j}}$$
(3.6)

Para obter o padrão de difração, só precisamos generalizar essa expressão para infinitos pontos ao invés de apenas 2. Para N pontos na fenda igualmente espaçados de  $\Delta x = a/N$ , onde a é o tamanho da fenda teríamos

$$v(\theta) = \tilde{v} \sum_{j=1}^{N} e^{-i\vec{k}\cdot\vec{x}_{j}}$$
 (3.7)

Note que quanto  $\theta=0$ , temos  $\vec{k}\cdot\vec{x}_j=kx_j\sin 0=0$  para todo j, e a amplitude é maxima:

$$v(0) = \tilde{v} \sum_{j=1}^{N} 1 = N\tilde{v}$$
 (3.8)

Portanto, relativamente a este valor máximo, temos (usando  $\Delta x = a/N$ ):

$$\frac{v(\theta)}{v(0)} = \frac{1}{N} \sum_{i=1}^{N} e^{-i\vec{k}\cdot\vec{x}_{j}} = \frac{1}{a} \sum_{i=1}^{N} e^{-i\vec{k}\cdot\vec{x}_{j}} \Delta x \qquad (3.9)$$

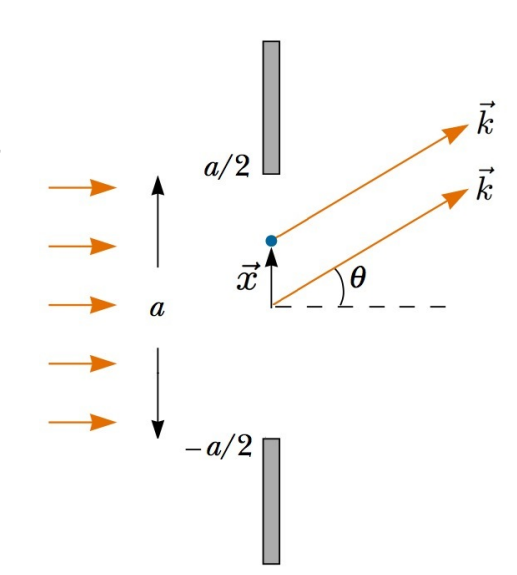


Figura 3.4: Difração em uma fenda simples. Cada ponto  $\vec{x}$  no contínuo da fenda contribui para a interferência com fase  $\vec{k} \cdot \vec{x}$ . (Serway)

Tomando o limite  $N \to \infty$  em que  $\Delta x \to 0$ , a soma se torna uma integral

$$\frac{v(\theta)}{v(0)} = \frac{1}{a} \int_{-a/2}^{a/2} e^{-i\vec{k}\cdot\vec{x}} dx \tag{3.10}$$

que podemos calcular como

$$\frac{v(\theta)}{v(0)} = \frac{1}{a} \int_{-a/2}^{a/2} e^{-i\vec{k}\cdot\vec{x}} dx = \frac{1}{a} \int_{-a/2}^{a/2} e^{-ikx\sin\theta} dx = \frac{1}{a} \frac{e^{-ikx\sin\theta}}{-ik\sin\theta} \Big|_{-a/2}^{a/2}$$

$$= \frac{1}{a} \frac{e^{-ik\frac{a}{2}\sin\theta} - e^{ik\frac{a}{2}\sin\theta}}{-ik\sin\theta} = \frac{1}{k\frac{a}{2}\sin\theta} \frac{e^{ik\frac{a}{2}\sin\theta} - e^{-ik\frac{a}{2}\sin\theta}}{2i} = \frac{\sin(k\frac{a}{2}\sin\theta)}{k\frac{a}{2}\sin\theta}$$

ou seja

$$\frac{v(\theta)}{v(0)} = \frac{\sin(\beta/2)}{\beta/2}$$
$$\beta = ka\sin\theta$$

Finalmente, como  $I = \langle E^2 \rangle = |v|^2$ , temos

$$\frac{I(\theta)}{I_0} = \frac{v(\theta)^2}{v(0)^2}$$

ou

$$\frac{I(\theta)}{I_0} = \left(\frac{\sin(\beta/2)}{\beta/2}\right)^2 \quad \text{onde} \quad \beta = ka\sin\theta \quad \text{(Difração, Fenda Simples)}$$
 (3.11)

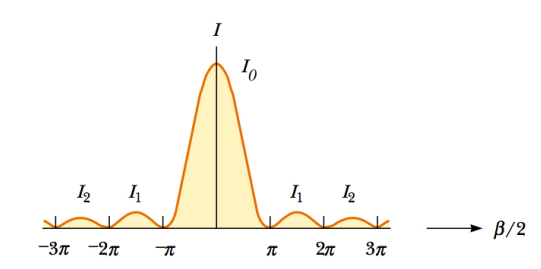




Figura 3.5: Padrão de intensidade na difração em uma fenda simples. (Serway)

Este padrão de interferência está mostrado na Fig 3.5. Note que os mínimos ocorrem quando  $\sin(\beta/2) = 0$ , ou seja para

$$\frac{\beta}{2} = m\pi, \qquad m = 1, 2, \dots$$

$$\rightarrow \frac{ka\sin\theta}{2} = m\pi, \qquad k = 2\pi/\lambda$$

$$\rightarrow a\sin\theta = m\lambda \qquad (3.12)$$

que é exatamente a condição que havíamos encontrado anteriormente. A posição dos máximos pode ser bem aproximada como centrada entre dois mínimos sucessivos. A região do máximo central extendida até o primeiro mínimo contém mais de 90% da intensidade total.

### 3.2 Difração por Fenda Dupla

Se considerarmos agora novamente uma fenda dupla, mas com fendas de tamanho a não desprezível, temos que o efeito de interferência das duas fendas se sobrepõe à difração de cada fenda individual. Desta forma, o padrão de interferência/difração será dado por

$$\frac{I(\theta)}{I_0} = \cos^2(\delta/2) \left(\frac{\sin(\beta/2)}{\beta/2}\right)^2 \quad \text{onde} \quad \delta = kd\sin\theta \quad \text{e} \quad \beta = ka\sin\theta \quad \text{(Fenda Dupla)} \quad (3.13)$$

Neste caso temos mínimos de interferência  $(\delta/2=(m+1/2)\pi)$  e mínimos de difração  $(\beta/2=m\pi)$  que se superpõem. Normalmente d>a, portanto o espaçamento de mínimos de interferência  $(\Delta\theta_{\rm int}\sim\lambda/d)$  são menores que o espaçamento de mínimos de difração  $(\Delta\theta_{\rm dif}\sim\lambda/a)$ . Assim o padrão de difração acaba servindo como um envelope ao padrão de interferência. Este padrão resultante de interferência/difração está mostrado na Fig 3.12.

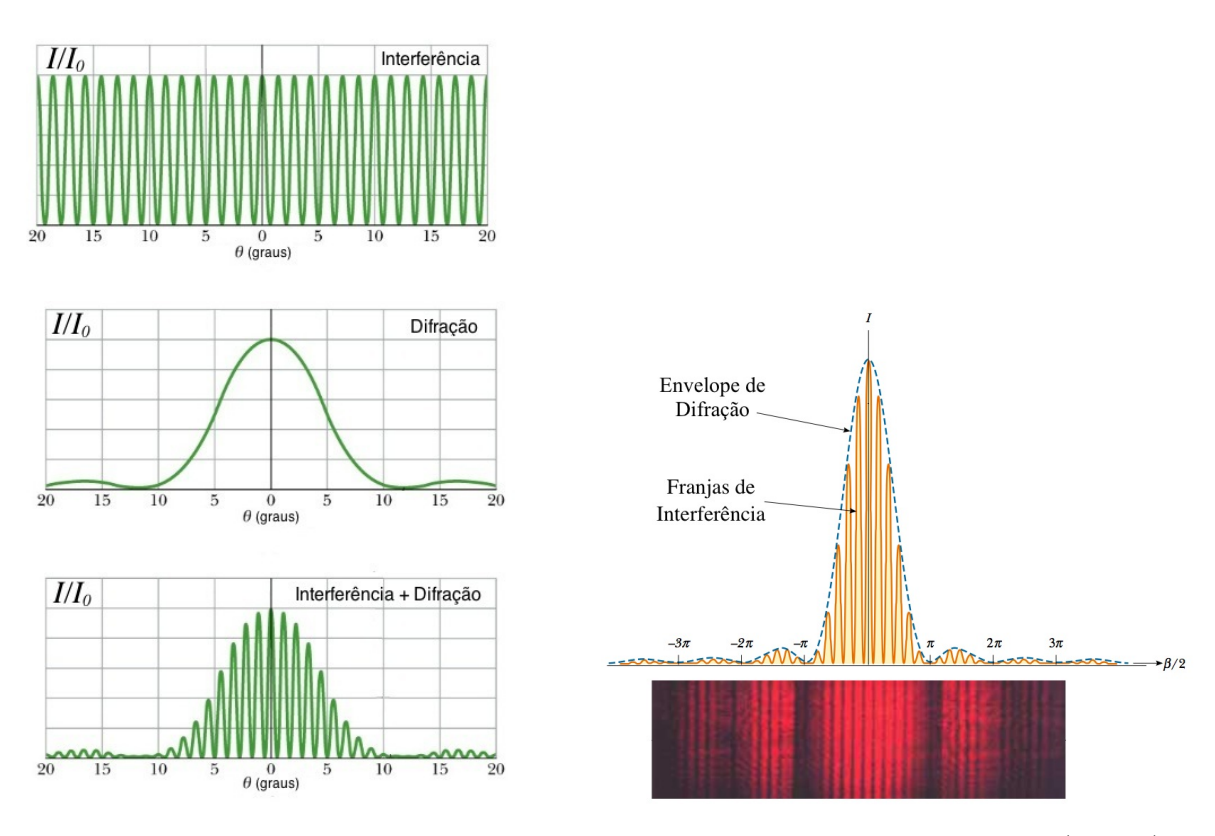


Figura 3.6: Padrão de Interferência e Difração das ondas que passam por duas fendas. (Serway)

## 3.3 Difração por Fenda Retangular

No caso de uma fenda com abertura angular no plano xy, precisamos percorrer todos os pontos do plano ocupado pela fenda. Lembre que para uma fenda unidimensional no eixo x, tínhamos

$$\frac{v(\theta)}{v(0)} = \frac{1}{a} \int_{-a/2}^{a/2} e^{-i\vec{k}\cdot\vec{x}} dx = \frac{1}{a} \int_{-a/2}^{a/2} e^{-ik_x x} dx$$
 (3.14)

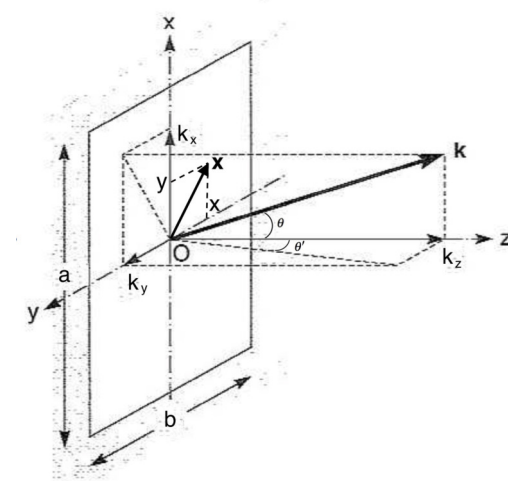


Figura 3.7: Difração por uma fenda retangular de larguras a e b. (Moysés)

Podemos generalizar esse resultado para uma fenda retangular no plano xy com comprimento a no eixo x e comprimento b no eixo y:

$$\frac{v(\theta, \theta')}{v(0, 0)} = \left(\frac{1}{a} \int_{-a/2}^{a/2} e^{-ik_x x} dx\right) \left(\frac{1}{b} \int_{-b/2}^{b/2} e^{-ik_y y} dy\right)$$

$$= \frac{1}{ab} \int \int dx dy \ e^{-i\vec{k} \cdot \vec{x}} \tag{3.15}$$

Note que ab é a área da fenda e estamos integrando nos pontos  $\vec{x}$  do plano xy cobrindo essa área.

Podemos imaginar uma fenda bidimensional de formato qualquer com área A como uma série de retângulos infinitesimais, obtendo assim a generalização

$$\boxed{\frac{v(\theta,\phi)}{v(0,0)} = \frac{1}{A} \int \int dA \ e^{-i\vec{k}\cdot\vec{x}}}$$
 (Fenda Bidimesional)(3.16)

Para detalhes sobre esse resultado, veja Moysés Vol. 4, Eq. 4.37. No caso da fenda retangular, a integral dupla se separa em duas integrais idênticas (em x e y), portanto

$$\frac{v(\theta, \theta')}{v(0, 0)} = \left(\frac{1}{a} \int_{-a/2}^{a/2} e^{-ik_x x} dx\right) \left(\frac{1}{b} \int_{-b/2}^{b/2} e^{-ik_y y} dy\right)$$

$$\frac{v(\theta, \theta')}{v(0, 0)} = \frac{\sin(\beta/2)}{\beta/2} \frac{\sin(\gamma/2)}{\gamma/2}$$

$$\beta = ka \sin \theta \quad \text{e} \quad \gamma = kb \sin \theta'$$
(3.17)

Finalmente, como  $I = |v|^2$ , temos

$$\frac{I(\theta, \theta')}{I_0} = \left(\frac{\sin(\beta/2)}{\beta/2}\right)^2 \left(\frac{\sin(\gamma/2)}{\gamma/2}\right)^2 \quad \text{onde } \beta = ka\sin\theta \text{ e } \gamma = kb\sin\theta'$$
(Difração, Fenda Retangular)
(3.19)

### 3.4 Difração por Fenda Circular

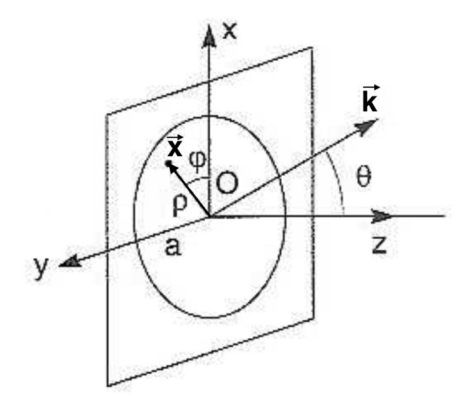


Figura 3.8: Difração por uma fenda circular de raio a. (Moysés)

Neste caso, com uma fenda circular de raio a e área  $A=\pi a^2$ , podemos usar coordenadas esféricas usuais, sendo as coordenadas polares  $(\rho, \phi)$  no plano da fenda, e  $\theta$  representa o ângulo azimutal. Dada a simetria no eixo z, podemos tomar  $\vec{k}$  no plano xz sem perder generalidade. Assim:

$$\vec{k} = k\hat{u}, \tag{3.20}$$

$$\hat{u} = (\sin \theta, 0, \cos \theta) \tag{3.21}$$

$$\vec{x} = (\rho \cos \phi, \rho \sin \phi, 0) \tag{3.22}$$

$$\vec{k} \cdot \vec{x} = k\rho \sin \theta \cos \phi \tag{3.23}$$

$$dA = \rho \, d\rho \, d\phi \tag{3.24}$$

Assim

$$\frac{v(\theta)}{v(0)} = \frac{1}{A} \int \int dA \ e^{-i\vec{k}\cdot\vec{x}}$$

$$= \frac{1}{\pi a^2} \int_0^a \rho \ d\rho \int_0^{2\pi} d\phi \ e^{-ik\rho\sin\theta\cos\phi} \tag{3.25}$$

A função de Bessel de ordem zero pode ser expressa como

$$J_0(x) = \frac{1}{2\pi} \int_0^{2\pi} d\phi \ e^{-ix\cos\phi}$$
 (3.26)

ou seja

$$\int_0^{2\pi} d\phi \ e^{-ik\rho\sin\theta\cos\phi} = 2\pi J_0(k\rho\sin\theta) \tag{3.27}$$

E portanto

$$\frac{v(\theta)}{v(0)} = \frac{1}{\pi a^2} \int_0^a \rho \ d\rho \ 2\pi J_0(k\rho \sin \theta)$$
(3.28)

Fazendo  $u = k\rho \sin \theta$ ,  $du = k\sin \theta d\rho$ , temos

$$\frac{v(\theta)}{v(0)} = \frac{1}{\pi a^2} \int_0^{ka \sin \theta} \frac{u}{k \sin \theta} \frac{du}{k \sin \theta} 2\pi J_0(u) 
= \frac{1}{\pi a^2} \frac{2\pi}{(k \sin \theta)^2} \int_0^{ka \sin \theta} u \, du \, J_0(u) 
= \frac{2}{(ka \sin \theta)^2} \int_0^{ka \sin \theta} u \, du \, J_0(u)$$
(3.29)

Mas,  $J_0(x)$  se relaciona com  $J_1(x)$  via

$$xJ_1(x) = \int_0^x u \ J_0(u) \ du \tag{3.30}$$

Portanto

$$\frac{v(\theta)}{v(0)} = \frac{2}{(ka\sin\theta)^2} (ka\sin\theta) J_1(ka\sin\theta) 
= 2 \frac{J_1(ka\sin\theta)}{ka\sin\theta}$$
(3.31)

Finalmente, como  $I = |v|^2$ , temos

$$\boxed{\frac{I(\theta)}{I_0} = 4 \left[ \frac{J_1(\beta)}{\beta} \right]^2 \quad \text{onde } \beta = ka \sin \theta}$$

(Difração, Fenda Circular)

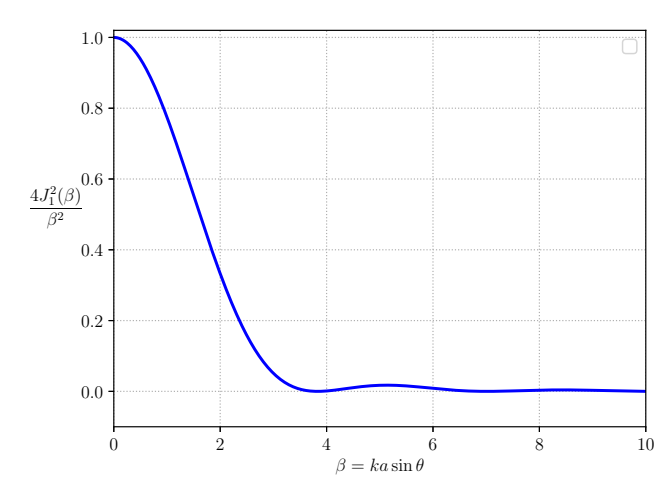


Figura 3.9: Padrão de intensidade na difração em uma (3.32) fenda circular. Primeiro mínimo ocorre em  $\beta = 1.22\pi$ .

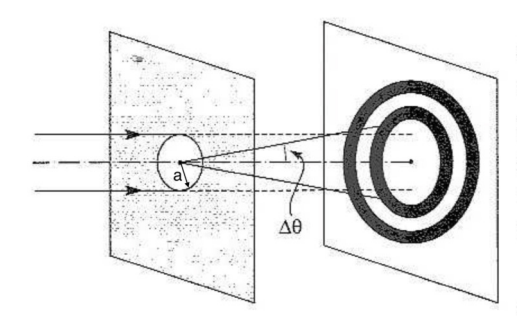


Figura 3.10: Padrão de intensidade na difração em uma fenda circular. Primeiro mínimo ocorre em  $\beta=1.22\pi$ . (Moysés)

O primeiro mínimo da intensidade ocorre em

$$\beta_{\min} = ka \sin \theta_{\min} = \frac{2\pi}{\lambda} a \sin \theta_{\min} = 1.22\pi \approx 3.83 (3.33)$$

Portanto, para pequenas aberturas

$$\theta_{\min} \approx \sin \theta_{\min} \approx 0.61 \frac{\lambda}{a}$$
 (3.34)

O máximo central contem 84% da intensidade total difratada. Se tivermos luz proveniente de 2 objetos distintos atrás da fenda, cada um irá produzir seu padrão de difração.

Será possível distinguir 2 objetos se o máximo de um deles estiver a uma distância maior que o primeiro mínimo do outro. Assim, temos um poder de resolução espacial dentro da separação angular

$$\Delta \theta \approx \theta_{\min} \approx 1.22 \frac{\lambda}{D}$$
 (3.35)

onde D=2a é o diâmetro da abertura circular. Objetos mais próximos do que essa separação angular serão misturados no máximo central.

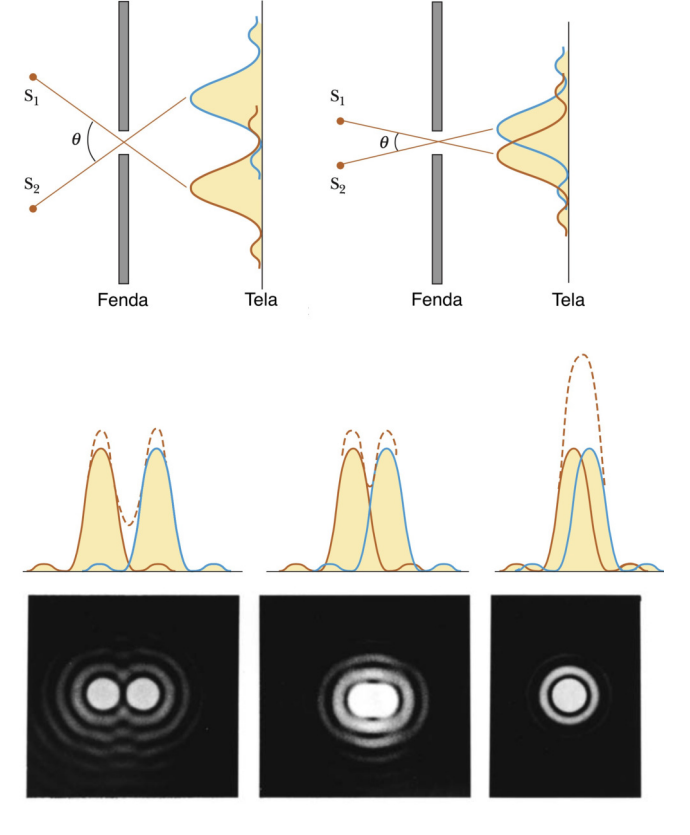


Figura 3.11: Padrão de difração de 2 fontes  $S_1$  e  $S_2$ . Para fontes com separações angulares  $\Delta \theta > 1.22 \lambda/2a$ , podemos distinguir as duas fontes. Fontes com separação menor serão confundidas/misturadas. (Serway)

#### 3.5 Difração de Raio X

Para medir o comprimento de onda  $\lambda$  de uma onda eletromagnética via difração, precisa-se saber a abertura do aparato de difração a, que deve ser da ordem de  $\lambda$ . Raios-x tem um comprimento de onda bem pequeno, da ordem de  $\lambda \approx 0.1$  nm, e seria impossível construir aberturas de difração deste tamanho. Entretanto, o espaçamento atômico em cristais é da ordem de 0.1 nm, ou seja  $a \approx \lambda_{\rm raio-x}$ . Como esse espaçamento é regular, pode servir como uma rede de difração/espalhamento.

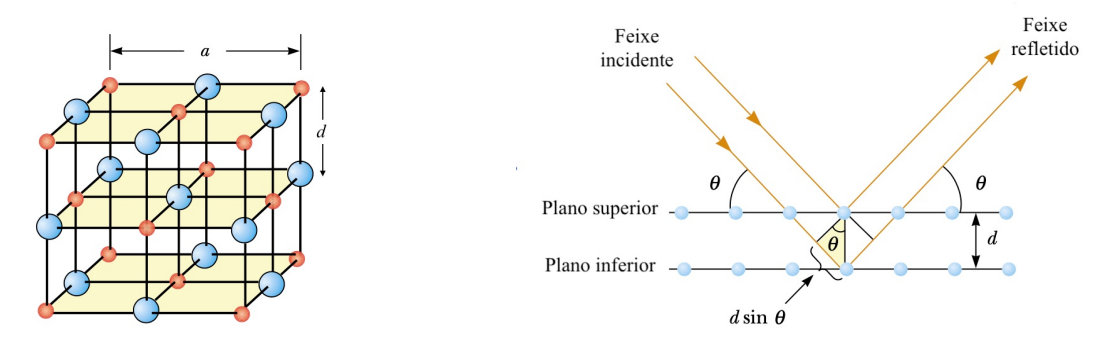


Figura 3.12: Um cristal de NaCl tem uma estrutura tridimensional como mostrada à esquerda, com camadas de átomos de Na e Cl separadas por uma distância d. Um feixe de raio-x incidente se espalha em camadas adjacentes e interfere construtivamente se a diferença de caminho entre os raios for um múltiplo do comprimento de onda. (Serway)

Neste caso, a difração é na verdade um espalhamento/reflexão da radiação após colidir com átomos em moléculas localizadas em planos/camadas subsequentes. Os raios espalhados/refletidos interferem de tal maneira que máximos são produzidos quando a diferença de caminho é um múltiplo do comprimento de onda do raio-x.

Considere um feixe de raio-x incidente a um ângulo  $\theta$  com a superfície do material. Um raio 1 se reflete em um átomo de um plano superior. Um raio 2 se reflete em um átomo no plano imediatamente inferior e, comparado ao raio 1, percorre uma distância extra  $d\sin\theta$  antes de refletir e essa mesma distância após refletir. Assim, para haver interferência construtiva, devemos ter

$$2d\sin\theta = m\lambda, \quad m = 1, 2, 3, \dots$$
 (Lei de Bragg) (3.36)

Note que um raio 3 se refletindo num plano ainda mais inferior, teria uma distância  $2d \sin \theta$  com respeito ao raio 2 e  $4d \sin \theta$  com respeito ao raio 1. Portanto, se a condição acima para raios 1 e 2 for satisfeita, ela também será para raios 1,2,3, etc.

Medindo o ângulo de espalhamento  $\theta$ , pode-se determinar a distância d, caso se saiba o comprimento de onda  $\lambda$ .